

Вінницький національний технічний університет
Інститут машинобудування та транспорту
Кафедра технології та автоматизації машинобудування

Магістерська кваліфікаційна робота
на тему:
**ТЕХНОЛОГІЧНИЙ ПРОЦЕС
МЕХАНІЧНОЇ ОБРОБКИ ДЕТАЛІ ТИПУ
“ВАЛ – ШЕСТЕРНЯ КШП-3М03-04-36”**

Виконав: студент 2-го курсу,
групи 1ТМ -14м
Черниш А.В.

Керівник: к.т.н, доцент
Дусанюк Ж.П.

Вінниця 2015

Метою магістерської кваліфікаційної роботи є зниження собівартості шляхом модернізації технологічного процесу механічної обробки заготовки деталі з урахуванням передових технологій і нових методів обробки подібних заготовок.

Відповідно до зазначеної мети в роботі поставлено та вирішено такі задачі:

варіантний вибір способу виготовлення заготовки;

проектування маршруту механічної;

розмірно - точнісне моделювання технологічного процесу механічної обробки;

визначення оптимальних режимів різання;

математична модель та алгоритм дослідження динаміки гідросистеми з урахуванням хвильових процесів в довгій напірній гідролінії;

дослідження модуля пружності газорідинної суміші від вмісту повітря та приведеного модуля пружності;

дослідження впливу хвильових процесів в довгій напірній гідролінії на величину максимального тиску, максимальної швидкості руху рідини на ділянках трубопроводу та впливу вмісту повітря на вказані параметри, а також на параметри руху вихідної ланки (штока гідроциліндра);

проектування технологічного оснащення;

розрахунок кількості працівників;

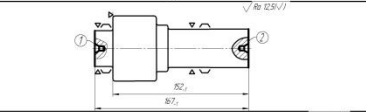
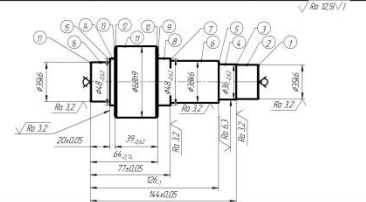
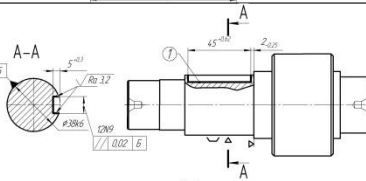
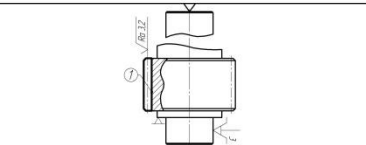
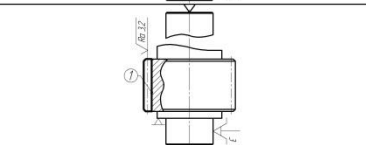
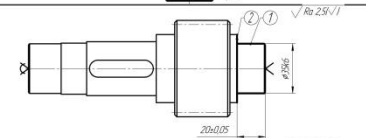
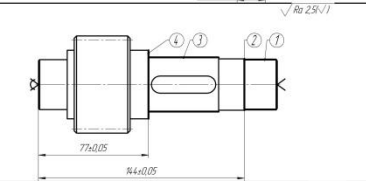
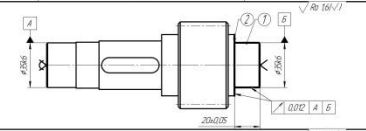
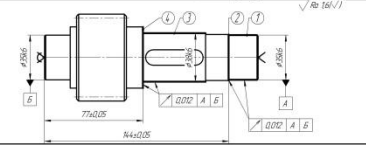
розрахунок кількості обладнання;

розрахунок площі ділянки;

розрахунок економічної доцільності впровадження модернізованого технологічного процесу;

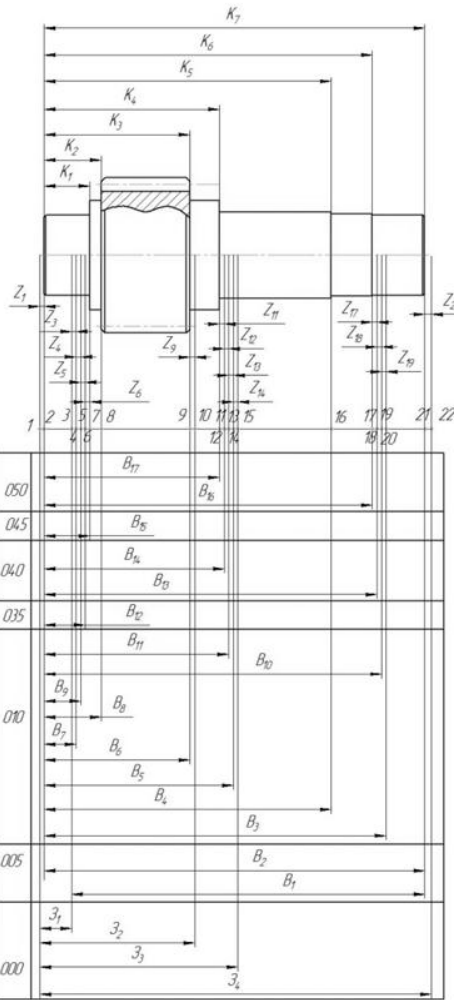
розробка заходів з охорони праці та безпеки життєдіяльності.

Маршрут механічної обробки

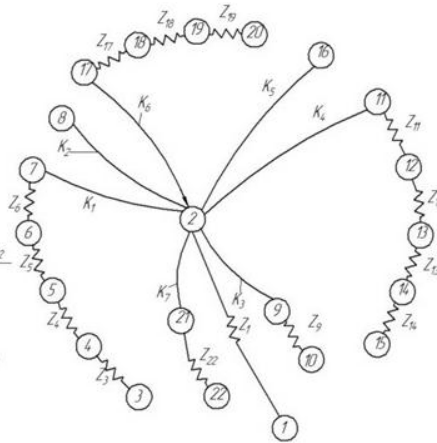
| № | Операції, переходи | Схема установки | Модель верстата |
|-----|---|--|---|
| 005 | <p>Фрезерно – центральна</p> <p>1.Встановити і закрити заставка; 2.Фрезерувати одночасно торці 1 і 2. 3.Центрувати одночасно торці 1 і 2. 4.Зняти деталь.</p> |  | Фрезерно – центральний МР71 |
| 010 | <p>Токарно з ЧПК</p> <p>1.Встановити і закрити деталь; 2.Точити однократно поверхню 1 згідно ескізуточити попередньою поверхню 2 в розмір $\varnothing 35,40$ мм, 3 в розмір $14,6,35$ ммточити поверхню 4, 5 згідно ескізуточити попередньою поверхню 6 в розмір $\varnothing 38,40$ мм, 7 в розмір $78,23$ ммточити однократно поверхню 8, 9, 10, 11 згідно ескізу; 3.Точити однократно поверхню 17 згідно ескізуточити попередньою поверхню 15 в розмір $\varnothing 35,40$ мм, 15 в розмір $18,95$ ммточити однократно поверхню 14, 13, 12 згідно ескізу; 4.Точити остаточно поверхню 15 в розмір $19,66$ мм, 16 в розмір $\varnothing 35,17$ мм; 5.Точити остаточно поверхню 2 в розмір $\varnothing 35,17$ мм, 3 в розмір $14,0,3$ мм, 6 в розмір $\varnothing 38,17$ мм, 7 в розмір $77,33$ мм, 6.Зняти деталь.</p> |  | Токарно –револьверний з ЧПК 16К2011 |
| 015 | <p>Шпоночно – фрезерно</p> <p>1.Встановити і закрити деталь; 2.Фрезерувати шпоночний паз 1. 3.Зняти деталь.</p> |  | Шпоночно – фрезерний 652Р |
| 020 | <p>Зубофрезерно</p> <p>1.Встановити і закрити деталь; 2.Фрезерувати зубчастий ввінець 1. 3.Зняти деталь.</p> |  | Зубофрезерний 5К301 |
| 025 | <p>Зубофрезерно</p> <p>1.Встановити і закрити деталь; 2.Фрезерувати зубчастий ввінець 1. 3.Зняти деталь.</p> |  | Зубофрезерний 5К301 |
| 035 | <p>Кругло-торцішліфування</p> <p>1.Встановити і закрити деталь; 2.Шліфувати поверхню 1 і торцьє 2. 3.Зняти деталь.</p> |  | Торце – круглошліфувальний поліабінат з ЧПК високої точності 3116 19Ф20 |
| 040 | <p>Шліфування з ЧПК</p> <p>1.Встановити і закрити деталь; 2.Шліфувати поверхню 1 і торцьє 2,поверхню 3 і торцьє 4. 3.Зняти деталь.</p> |  | Круглошліфувальний з ЧПК 3М15 19Ф2 |
| 045 | <p>Кругло-торцішліфування</p> <p>1.Встановити і закрити деталь; 2.Шліфувати поверхню 1 і торцьє 2. 3.Зняти деталь.</p> |  | Торце – круглошліфувальний поліабінат з ЧПК високої точності 3116 19Ф20 |
| 050 | <p>Шліфування з ЧПК</p> <p>1.Встановити і закрити деталь; 2.Шліфувати поверхню 1 і торцьє 2,поверхню 3 і торцьє 4. 3.Зняти деталь.</p> |  | Круглошліфувальний з ЧПК 3М15 19Ф2 |

Розмірний аналіз технологічного процесу

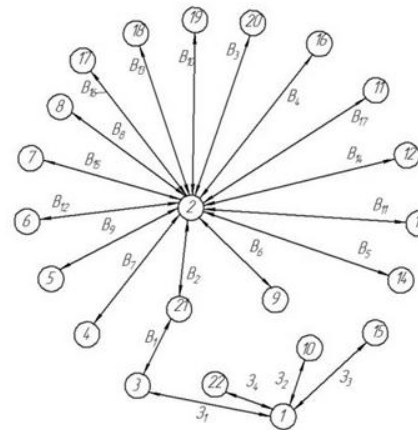
Таблиця рівнянь технологічних розмірних ланцюгів



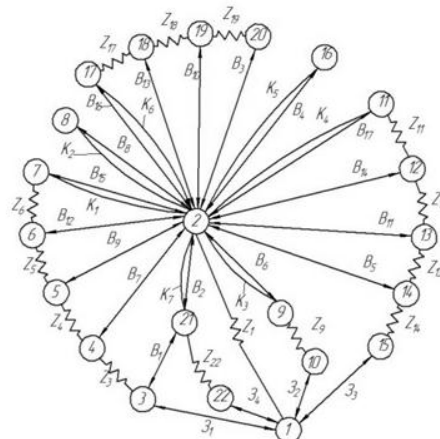
Розмірна схема технологічного процесу.



Вихідний граф



Похідний граф



Суміщений граф

| № л/л | Розробка рівнянь | Вихідне рівняння | Невідомий розмір |
|-------|-----------------------------|-----------------------------|------------------|
| 1 | $K_7 - B_7 = 0$ | $K_7 - B_7 = 0$ | B_7 |
| 2 | $K_5 - B_5 = 0$ | $K_5 - B_5 = 0$ | B_5 |
| 3 | $K_6 - B_6 = 0$ | $K_6 - B_6 = 0$ | B_6 |
| 4 | $K_2 - B_2 = 0$ | $K_2 - B_2 = 0$ | B_2 |
| 5 | $K_4 - B_4 = 0$ | $K_4 - B_4 = 0$ | B_4 |
| 6 | $K_7 - B_7 = 0$ | $K_7 - B_7 = 0$ | B_7 |
| 7 | $K_1 - B_1 = 0$ | $K_1 - B_1 = 0$ | B_1 |
| 8 | $Z_4 - B_4 + B_5 = 0$ | $B_5 - B_4 - Z_4 = 0$ | B_5 |
| 9 | $Z_1 - B_1 + B_2 = 0$ | $B_2 - B_1 - Z_1 = 0$ | B_2 |
| 10 | $Z_4 - B_4 + B_5 = 0$ | $B_5 - B_4 - Z_4 = 0$ | B_5 |
| 11 | $Z_5 + B_4 + Z_1 - Z_2 = 0$ | $Z_1 - Z_2 + B_4 + Z_5 = 0$ | Z_1 |
| 12 | $Z_1 - B_1 + B_2 - B_3 = 0$ | $B_2 - Z_1 - B_1 + B_3 = 0$ | B_3 |
| 13 | $Z_1 + B_1 + Z_2 - Z_3 = 0$ | $Z_3 - Z_1 - B_1 - Z_2 = 0$ | Z_3 |
| 14 | $Z_2 + B_1 - Z_1 + Z_3 = 0$ | $Z_3 - Z_1 - Z_2 - B_1 = 0$ | Z_3 |
| 15 | $Z_1 - B_1 + B_2 = 0$ | $B_2 - Z_1 + B_1 = 0$ | B_2 |
| 16 | $Z_1 - B_1 + B_2 = 0$ | $B_2 - Z_1 + B_1 = 0$ | B_2 |
| 17 | $Z_1 - B_1 + B_2 = 0$ | $B_2 - Z_1 + B_1 = 0$ | B_2 |
| 18 | $Z_1 - Z_2 + Z_1 + B_5 = 0$ | $Z_1 - Z_2 + B_5 = 0$ | Z_1 |
| 19 | $Z_1 - B_1 + B_2 = 0$ | $B_2 - Z_1 + B_1 = 0$ | B_2 |
| 20 | $Z_1 - B_1 + B_2 = 0$ | $B_2 - Z_1 + B_1 = 0$ | B_2 |
| 21 | $Z_5 - B_4 + B_5 = 0$ | $B_5 - Z_5 + B_4 = 0$ | B_5 |

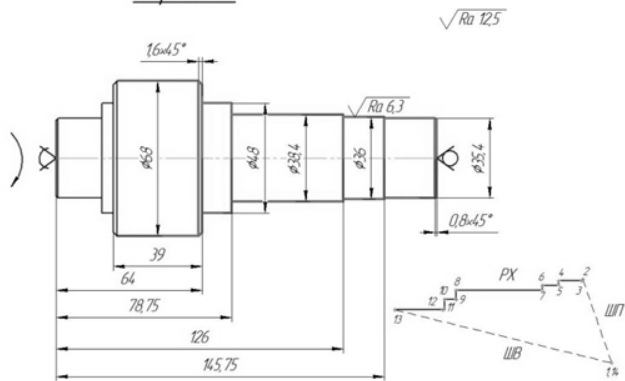
Таблиця мінімальних і максимальних припусків

| | Z_2 | Z_3 | Z_4 | Z_5 | Z_6 | Z_9 | Z_{11} | Z_{12} | Z_{14} | Z_{17} | Z_{18} | Z_{19} | Z_{22} | |
|-----------------------|-------|-------|-------|-------|-------|-------|----------|----------|----------|----------|----------|----------|----------|-----|
| $Z_{\max}, \text{мм}$ | 5,45 | 2,48 | 0,94 | 0,41 | 0,14 | 5,0 | 0,176 | 0,286 | 1,4 | 4,32 | 0,517 | 0,7 | 1,96 | 5,3 |
| $Z_{\min}, \text{мм}$ | 2,7 | 1,96 | 0,42 | 0,29 | 0,14 | 2,3 | 0,13 | 0,26 | 0,39 | 1,82 | 0,42 | 0,42 | 1,96 | 2,7 |

Таблиця значень технологічних розмірів, розмірів вихідної заготовки та допуски цих розмірів, мм

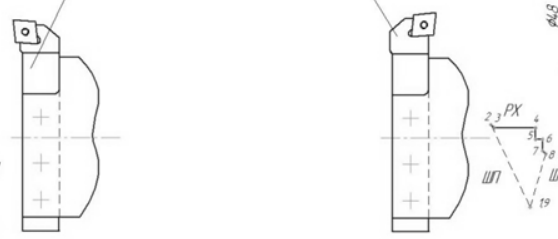
| Позначення розміру | Граничні значення розмірів | | Допуск | Номинальний розмір | Значення розміру у технологічному документі | Значення розміру на кресленні вихідної заготовки |
|--------------------|----------------------------|---------------------|--------|--------------------|---|--|
| | мінімальний розмір | максимальний розмір | | | | |
| B_1 | 14,917 | 150,17 | 10 | 14,967 | 14,967±0,5 | - |
| B_2 | 166,5 | 167,5 | 10 | 167 | 167±0,5 | - |
| B_3 | 145,85 | 146,85 | 10 | 146,35 | 146,35±0,5 | - |
| B_4 | 125,5 | 126,5 | 10 | 126 | 126±0,5 | - |
| B_5 | 77,73 | 78,73 | 10 | 78,23 | 78,23±0,5 | - |
| B_6 | 63,63 | 64,37 | 0,74 | 64 | 64±0,37 | - |
| B_7 | 18,69 | 19,21 | 0,52 | 18,95 | 18,95±0,26 | - |
| B_8 | 24,74 | 25,26 | 0,52 | 25 | 25±0,26 | - |
| B_9 | 19,5 | 19,63 | 0,13 | 19,655 | 19,655±0,065 | - |
| B_{10} | 14,389 | 14,47 | 0,08 | 14,43 | 14,43±0,04 | - |
| B_{11} | 77,34 | 77,376 | 0,19 | 77,328 | 77,328±0,095 | - |
| B_{12} | 19,877 | 19,91 | 0,033 | 19,89 | 19,89±0,016 | - |
| B_{13} | 14,347 | 14,353 | 0,063 | 14,350 | 14,350±0,011 | - |
| B_{14} | 77,08 | 77,126 | 0,046 | 77,103 | 77,103±0,023 | - |
| B_{15} | 19,95 | 20,05 | 0,1 | 20 | 20±0,05 | - |
| B_{16} | 14,395 | 14,405 | 0,1 | 14,4 | 14,4±0,05 | - |
| B_{17} | 76,95 | 77,05 | 0,1 | 77 | 77±0,05 | - |
| Z_1 | 184,3 | 206,3 | 2,2 | 195,3 | - | 195,3±1,1 |
| Z_2 | 68,83 | 71,3 | 2,5 | 70,08 | - | 70,08±1,25 |
| Z_3 | 82,25 | 84,74 | 2,5 | 83,5 | - | 83,5±1,25 |
| Z_4 | 171,9 | 175,1 | 3,2 | 173,28 | - | 173,28±1,6 |

Перехід 1

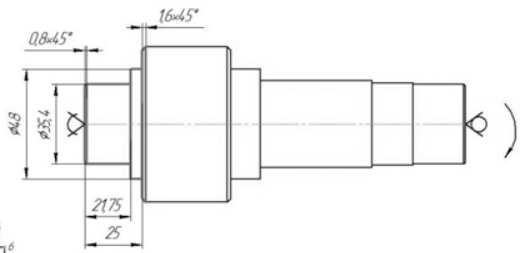


Різець PDMR2020K15
ТУ 2-035-892-82

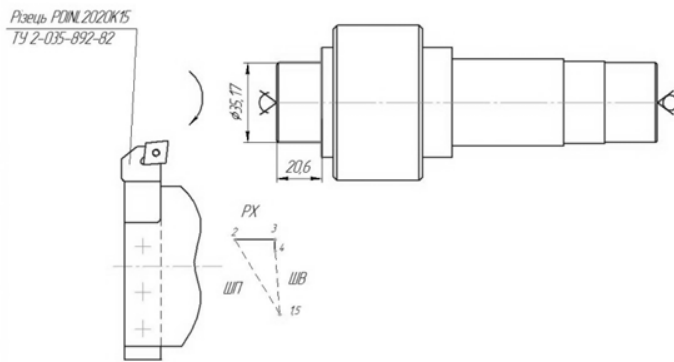
Різець PDMR2020K15
ТУ 2-035-892-82



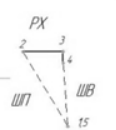
Перехід 2



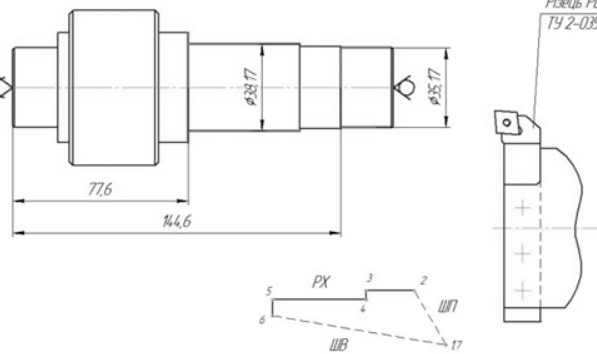
Перехід 3



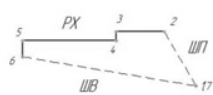
Різець PDMR2020K15
ТУ 2-035-892-82



Перехід 4



Різець PDMR2020K15
ТУ 2-035-892-82



| | | | | | | |
|--|---|---|------|-------|------|------|
| 010 | 4 | Точки остаточно побірки 2 в розмір 35,17 мм | 0,12 | 0,246 | 14,9 | 1950 |
| | | 3 в розмір 144,6 мм 6 в розмір 38,17 мм | 1,96 | 0,246 | 14,1 | 2550 |
| | | 7 в розмір 77,6 мм | 0,12 | 0,246 | 150 | 2550 |
| | 3 | Точки остаточно побірки 15 в розмір 20,6 мм | 0,36 | 0,246 | 14,9 | 1950 |
| | | 16 в розмір 35,17 мм | 14 | 0,246 | 139 | 925 |
| | 2 | Точки однократно побірки 17 згідно ескизу | 24 | 0,8 | 94,7 | 750 |
| | | почти попередньо побірки 18 в розмір 35,40 мм | 24 | 0,8 | 94,7 | 750 |
| | | 5 в розмір 21,75 мм почти однократно побірки 14, 13, 12 згідно ескизу | 24,8 | 0,8 | 98 | 650 |
| | | | 5 | 0,5 | 98 | 650 |
| | | | 5 | 0,5 | 105 | 500 |
| | 1 | Точки однократно побірки 1 згідно ескизу | 1 | 11 | 107 | 500 |
| | | почти попередньо побірки 2 в розмір 35,40 мм | 3,9 | 0,7 | 83,4 | 750 |
| 3 в розмір 145,75 мм почти побірки 4,5 згідно ескизу | | 3,9 | 0,7 | 83,4 | 750 | |
| почти попередньо побірки 6 в розмір 38,40 мм | | 1,96 | 0,9 | 93,3 | 825 | |
| 7 в розмір 78,75 мм почти однократно побірки 8,9, 10, 11 згідно ескизу | | 1,6 | 0,7 | 84,8 | 750 | |
| | | 2,16 | 0,8 | 91,6 | 750 | |
| | | 4,32 | 0,6 | 98 | 650 | |
| | | 2,3 | 0,8 | 98 | 650 | |
| | | 5 | 0,5 | 105 | 500 | |
| | | 1 | 11 | 107 | 500 | |

№ алер. № пер. 16K20T1

1 мм 5 мм/дВ 1 мм/дВ под.дВ

Режими різання

08-26.МКР.009.00.000 КН

| | | | | |
|----------|--------|----------|------|-------|
| № | Дат. | № докум. | Лист | Конт. |
| Розроб. | Микола | | | |
| Лист | 1 | 1 | 1 | 1 |
| Голова | | | | |
| Начальн. | | | | |
| Метр. | | | | |
| Корект. | | | | |

Карта налагоджень

№ - 11

ВНТЧ зр 11М-14м

ІМІТАЦІЙНЕ МОДЕЛЮВАННЯ ДИНАМІЧНИХ ПРОЦЕСІВ В ГІДРОПРИВОДІ З ДОВГИМ НАПІРНИМ ТРУБОПРОВОДОМ

Метою роботи є:

- розробка математичної моделі та алгоритму імітаційного моделювання гідроприводу з довгим напірним трубопроводом з урахуванням хвильових процесів та вмісту повітря, дослідження впливу повітря на характеристики хвильового процесу та руху вихідної ланки гідросистеми.

Для досягнення поставленої мети розв'язувалися такі задачі:

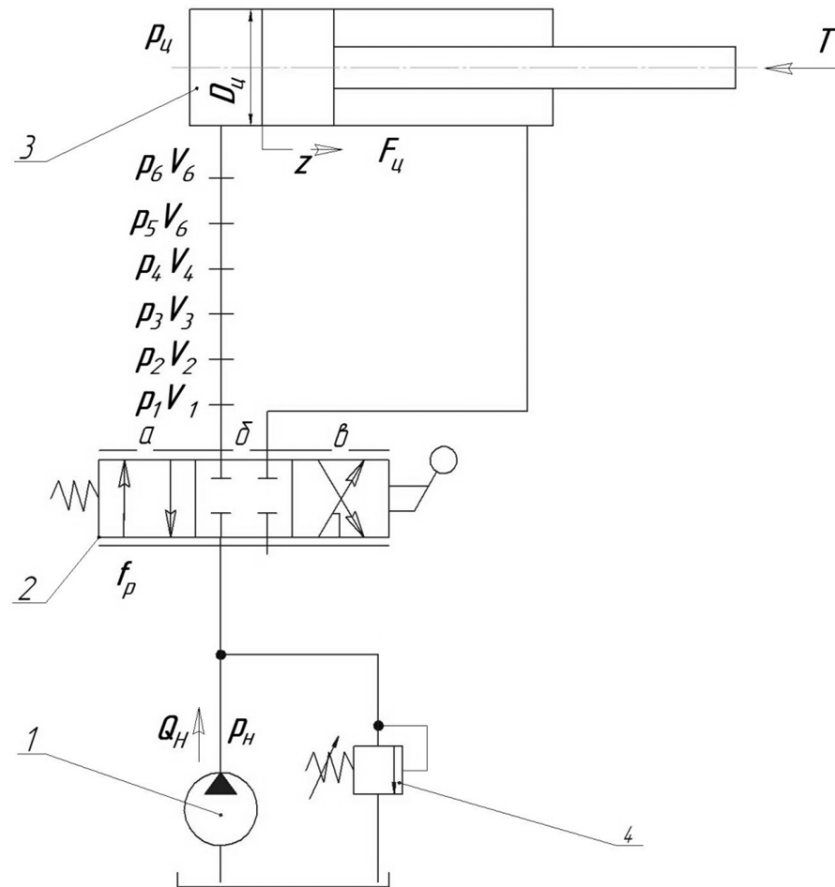
розробка математичної моделі гідроприводу з довгою напірною гідролінією та з урахуванням хвильових процесів, а також нелінійної залежності модуля пружності газорідинної суміші від вмісту повітря

складання блок – схеми та алгоритму імітаційного моделювання, розрахунок параметрів за допомогою ПЕОМ;

дослідження модуля пружності газорідинної суміші від вмісту повітря та приведення модуля пружності;

дослідження впливу хвильових процесів в довгій напірній гідролінії на величину максимального тиску, максимальної швидкості руху рідини на ділянках трубопроводу та впливу вмісту повітря на вказані параметри, а також на параметри руху вихідної ланки (штока гідроциліндра).

Розрахункова схема гідроприводу з довгою гідролічною лінією



Математична модель гідропроводу з довгою напірною гідролінією

Рівняння нерозривності потоку рідини між насосом 1 і розподільником 2:

$$Q_H = \frac{dp_H}{dt} \cdot \beta \cdot W_H + \mu \cdot f_p \cdot \sqrt{\frac{2 \cdot (P_H - P_1)}{\rho}},$$

Рівняння витрати рідини через розподільник 2:

$$Q_p = \mu \cdot f_p \cdot \sqrt{\frac{2 \cdot (P_H - P_1)}{\rho}},$$

Рівняння, що описують хвильові процеси в довгому трубопроводі:

$$\frac{\partial p_x}{\partial x} = -\rho \left(\frac{\partial V_x}{\partial t} \right) - \xi_x \cdot V_x$$
$$\frac{\partial V_x}{\partial x} = -\frac{1}{E_x} \cdot \frac{\partial p_x}{\partial t}$$

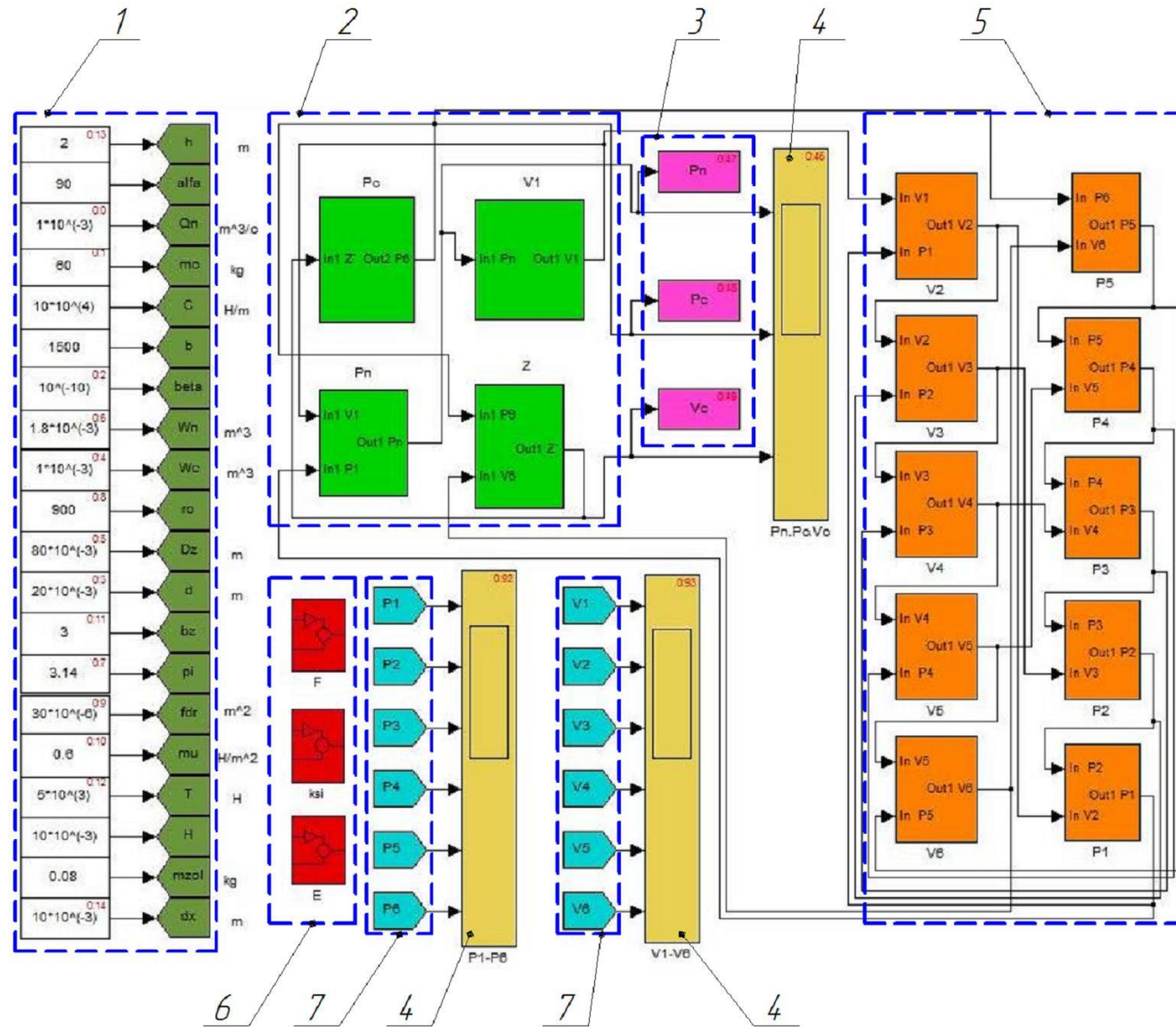
Рівняння нерозривності потоку рідини на вході в гідроциліндр 3:

$$Q_3 = \frac{dp_3}{dt} \cdot \beta \cdot W_3 + \frac{dz}{dt} \cdot F_3$$

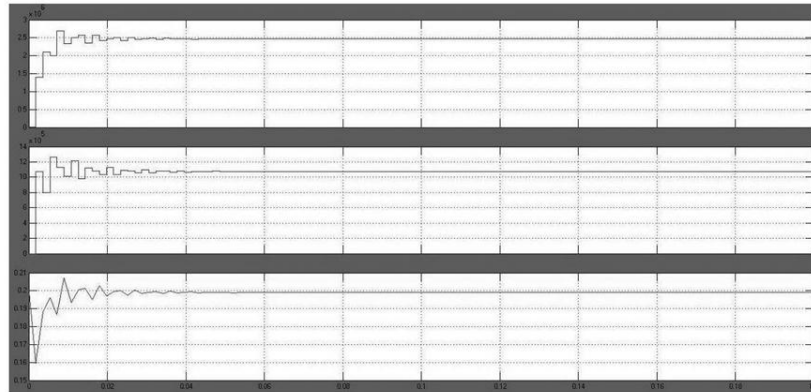
Рівняння сил, що діють на поршень гідроциліндра 3:

$$P_U = m_U \cdot \frac{d^2 z}{dt^2} + b_U \cdot \frac{dz}{dt} + T,$$

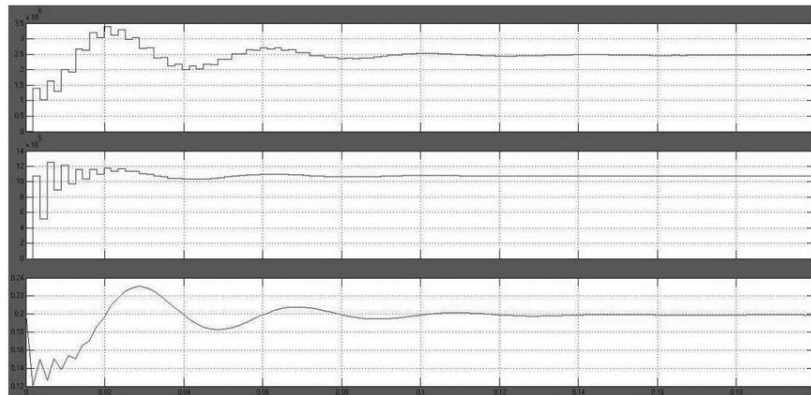
Блок – схема імітаційного моделювання процесів, що виникають в гідроприводі з довгою гідролінією



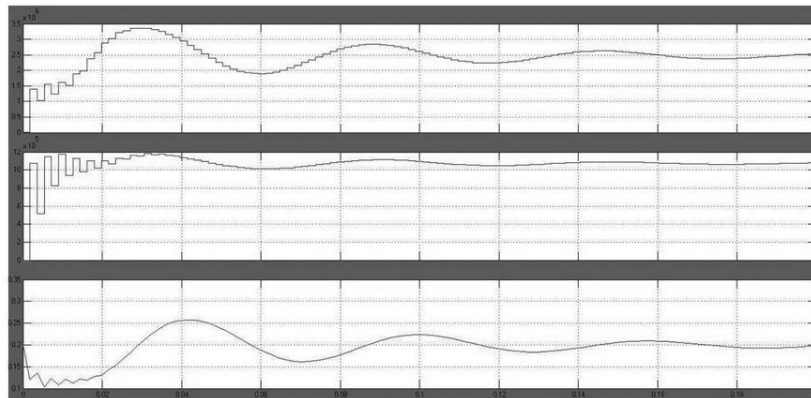
Результати розрахунків параметрів гідросистеми



Розрахунок параметрів гідросистеми без врахування хвильових процесів (зверху вниз)
тиск на виході насоса p (Па), тиск в гідроциліндрі p_c (Па), швидкість руху поршня гідроциліндра V (м/с)

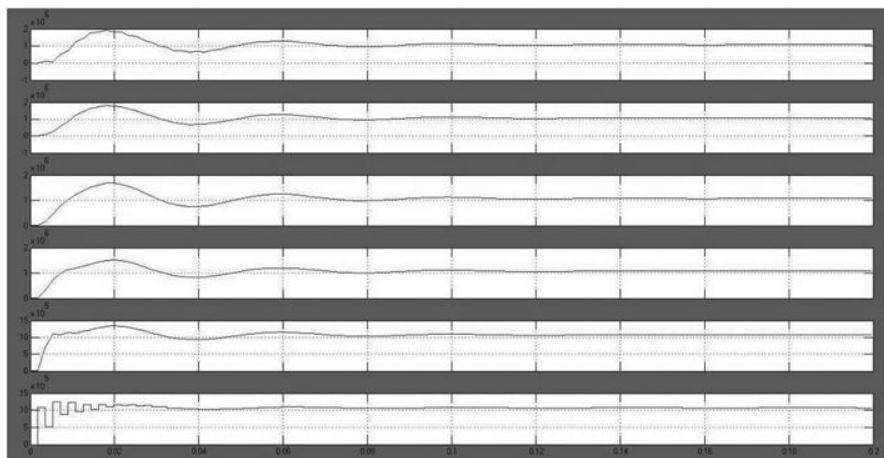


Розрахунок параметрів гідросистеми з врахуванням хвильових процесів для рідини з постійним значенням модуля пружності (зверху вниз)
тиск на виході насоса p (Па), тиск в гідроциліндрі p_c (Па), швидкість руху поршня гідроциліндра V (м/с)

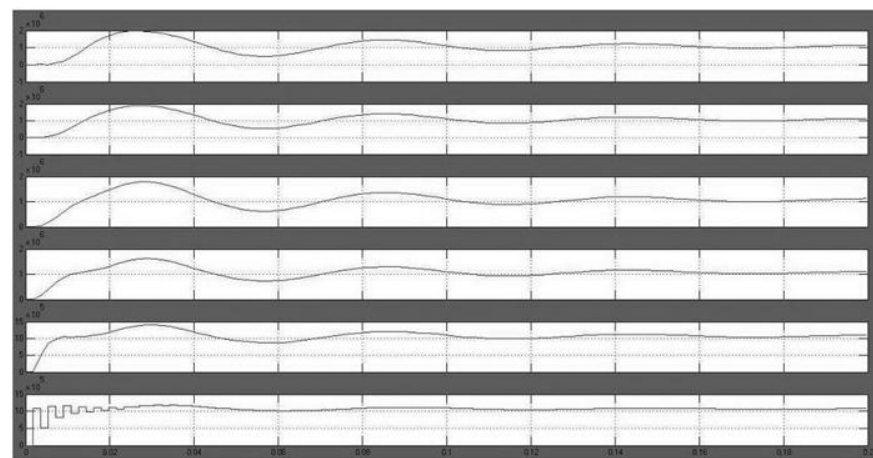


Розрахунок параметрів гідросистеми з врахуванням хвильових процесів для рідини з вмістом повітря 10% (зверху вниз)
тиск на виході насоса p (Па), тиск в гідроциліндрі p_c (Па), швидкість руху поршня гідроциліндра V (м/с)

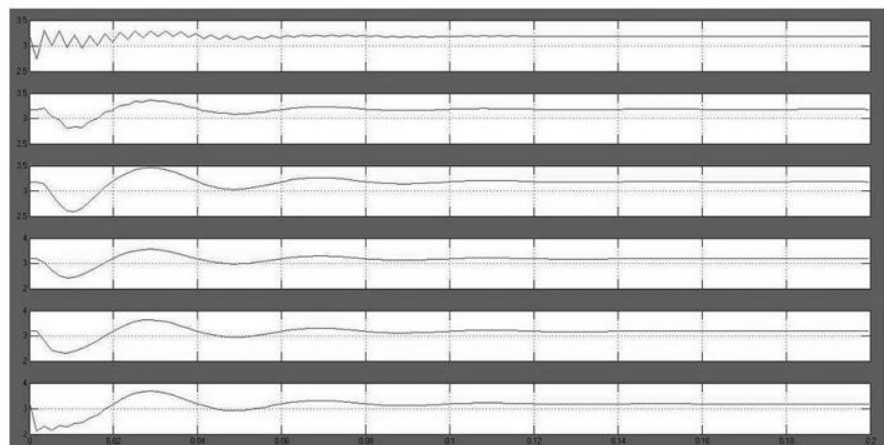
Результати розрахунків параметрів робочої рідини в гідролінії



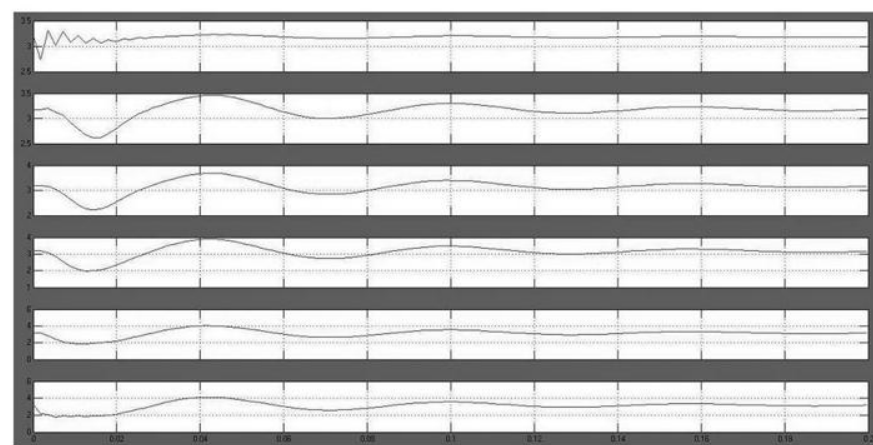
Результати розрахунків тиску робочої рідини на ділянках трубопроводу для постійного модуля пружності (зверху вниз) P1-P6 [Па]



Результати розрахунків тиску робочої рідини на ділянках трубопроводу для рідини з вмістом повітря 10% (зверху вниз) P1-P6 [Па]



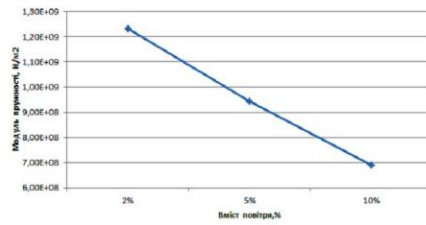
Результати розрахунків швидкості руху робочої рідини на ділянках трубопроводу для постійного модуля пружності (зверху вниз) V1-V6 [м/с]



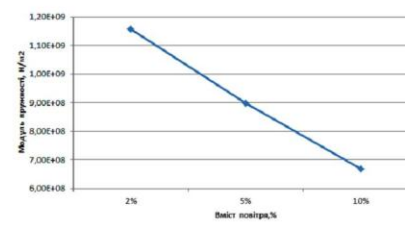
Результати розрахунків швидкості руху робочої рідини на ділянках трубопроводу для рідини з вмістом повітря 10% (зверху вниз) V1-V6 [м/с]

Результати імітаційного моделювання динамічних процесів в гідроприводі з довгим напірним трубопроводом

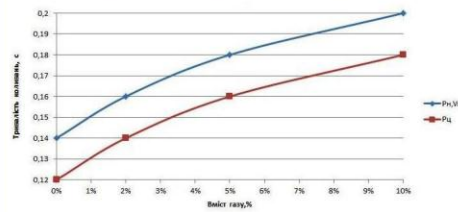
Залежність модуля пружності суміші від вмісту повітря



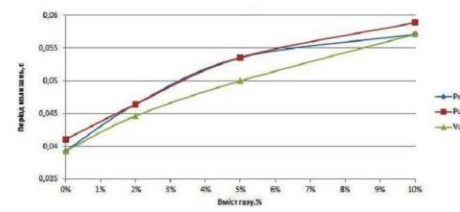
Залежність зведеного модуля пружності від вмісту повітря



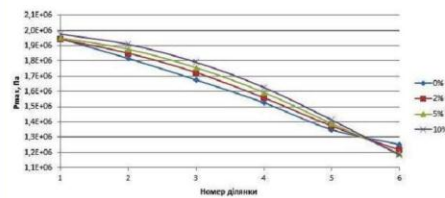
Дослідження тривалості коливань залежно від вмісту повітря



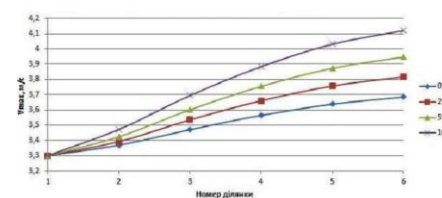
Дослідження періоду коливань залежно від вмісту повітря



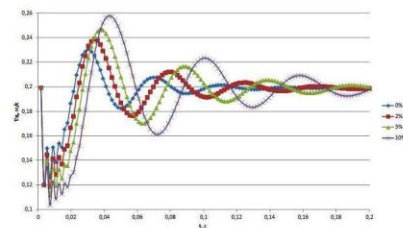
Залежність амплітуди коливань максимального тиску по ділянках трубопроводу від вмісту повітря



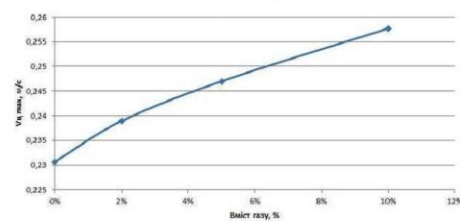
Залежність амплітуди коливань швидкості руху робочої рідини по ділянкам трубопроводу від вмісту повітря

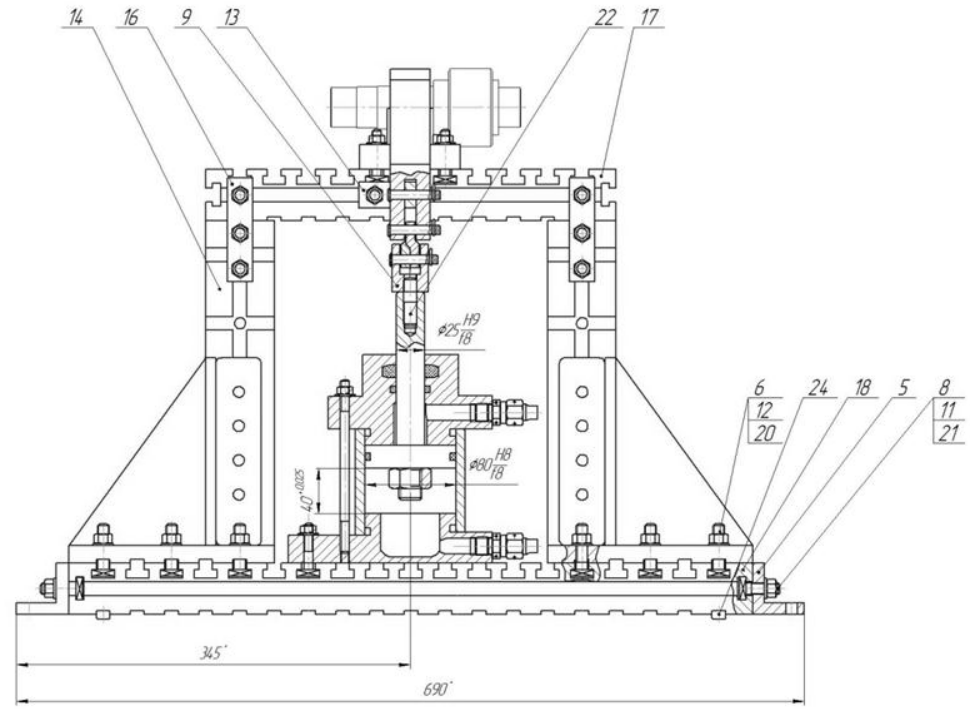
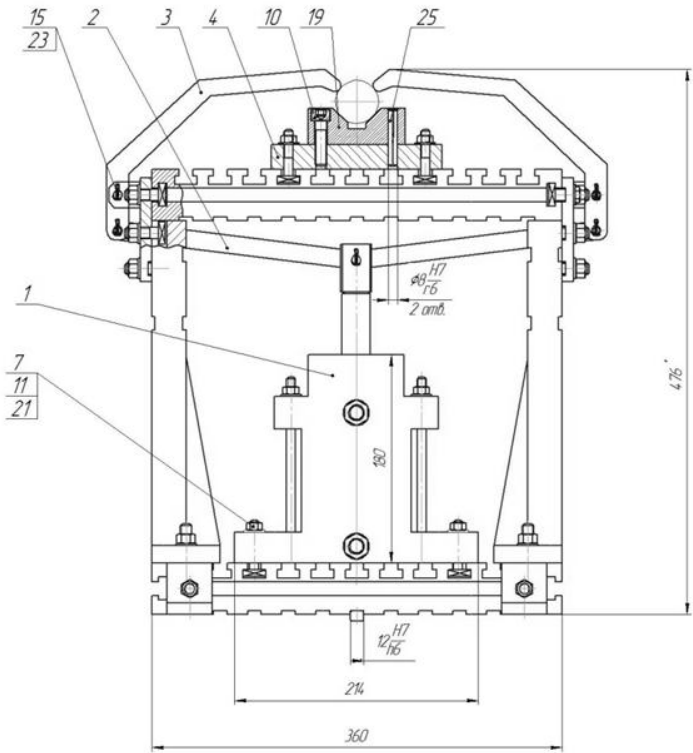


Залежність швидкості руху поршня від вмісту повітря



Залежність амплітуди коливань максимальної швидкості руху поршня залежно від вмісту повітря





Технічна характеристика

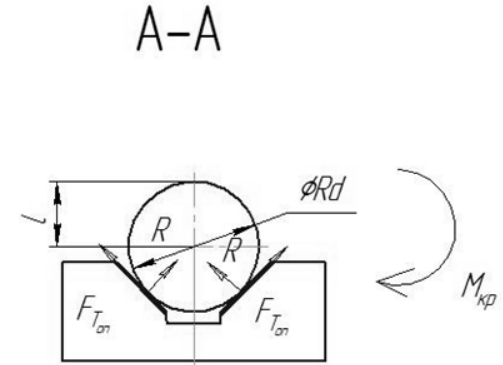
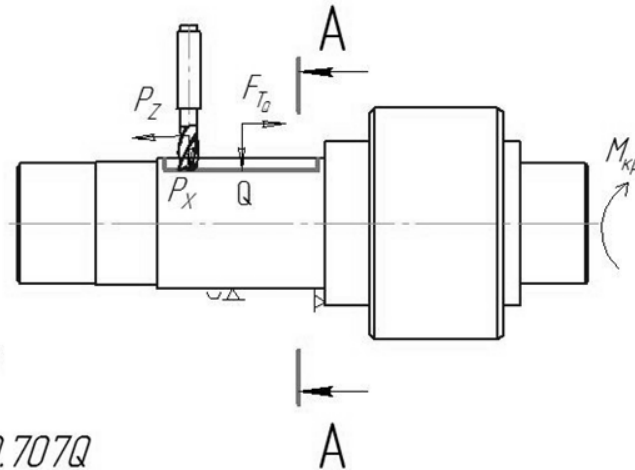
- 1 Зусилля зажиму Н _____ 1200Н
- 2 Хід штока І _____ 40мм

Технічні вимоги

- 1* Розміри для довідки
- 2 Шток пневмоциліндра повинен рухатись плавно, без заїдань і перекосів
- 3 Точність пристосування $F_p = 0,1\text{мм}$

| | | | | | | |
|----------|-------------|--------------|-------|---|--------|----|
| | | | | 08-26.МКР.09.01.000 СК | | |
| Діагност | М. Діагност | Голов. Штук. | Штук. | Пристосування для механічної обробки деталей на верстаті 08 | | |
| Розроб. | Чирчак | Голов. | | Лист | Листів | 12 |
| Лектор | Діагност | | | Складальне креслення | | |
| Начальн. | Діагност | | | ВНТУ, 11М-14м | | |
| Мат. | Голов. | | | Кількість: _____ | | |
| | | | | Формат А1 | | |

Розрахункова схема визначення сили закріплення на операції 015



$$Q_{зат} - 2R \cos 45^\circ = 0$$

$$R = Q / (2 \cos 45^\circ) = 0.707Q$$

Умова надійності закріплення:

$$P_x \leq \Sigma F_T, \text{ тобто } P_x < 0.6Q$$

$$P_z l = f_{тр} Q (2 \times 0.707QR_d + l)$$

Отже:

$$M_{кр} = \frac{P_z D}{2 \cdot 100}$$

$$M_{кр} = \frac{787138}{2 \cdot 100} = 4.72 \text{ Н}\cdot\text{м}$$

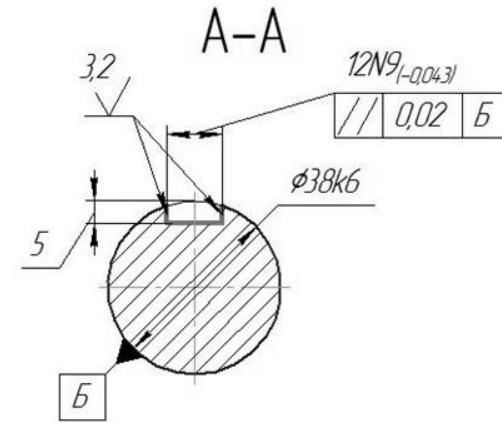
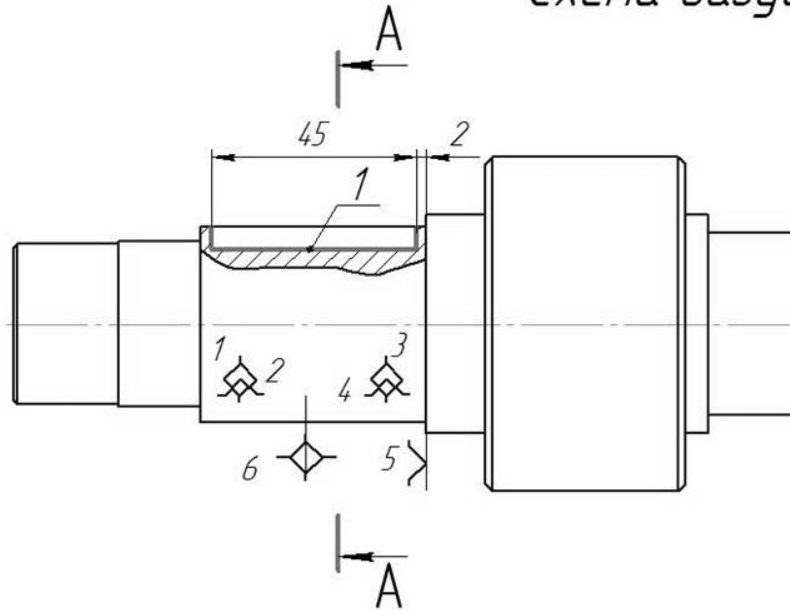
$$K_{зат} = 3.12$$

Прийнята сила закріплення:

$$Q_{зат,тр} = \frac{2KM}{10 \cdot (f_1 f_2) / \sin 0.5 \alpha};$$

$$Q_{зат,тр} = \frac{23,12472}{(38 \cdot 10,16 \cdot 0,16) / \sin 45} = 171,34 \text{ Н}$$

Схема базування заготовки



Розрахунок наявної похибки базування

$$\varepsilon_{\delta} = \frac{D_{\max} - D_{\min}}{2} \cdot \left(\frac{1}{\sin \frac{\alpha}{2}} + 1 \right) = \frac{38,018 - 38,002}{2} \cdot \left(\frac{1}{\sin 4,5} + 1 \right) = 0,19 \text{ (мм)}$$

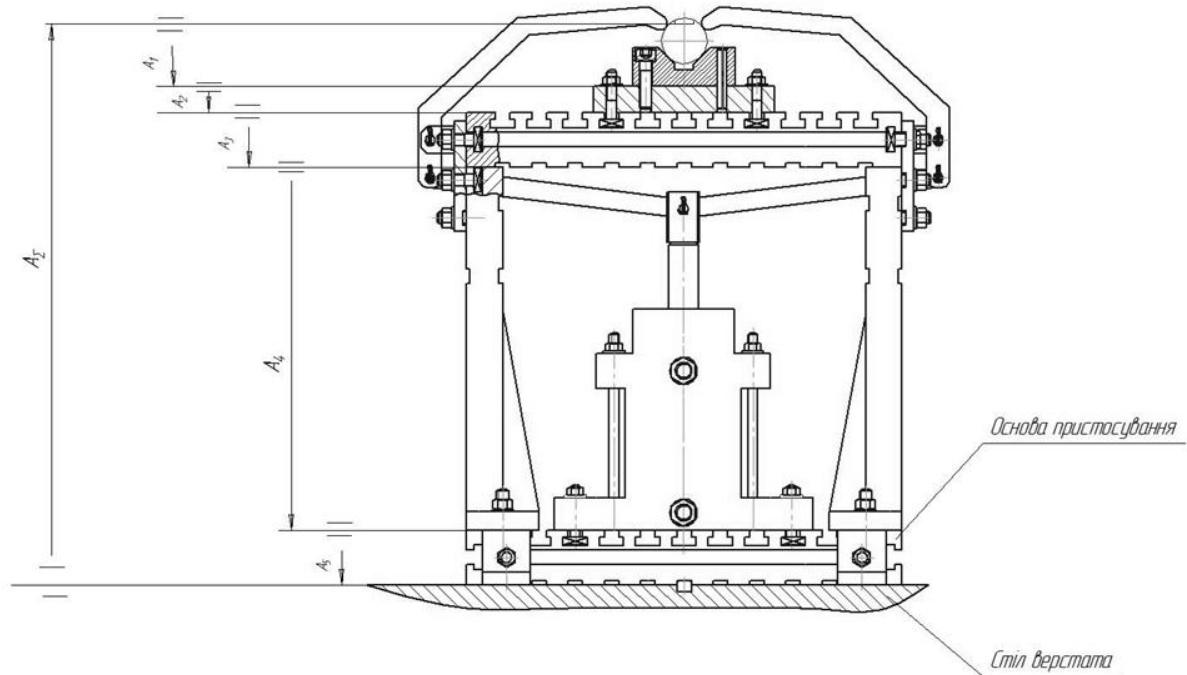
D_{\max} – максимальний діаметр поверхні деталі

D_{\min} – мінімальний діаметр поверхні деталі

Таблиця аналізу похибок базування

| Назва операції | Розмір чи вимога точності | Відсутність чи наявність похибки базування | Фактор, який забезпечує відсутність чи наявність похибки базування |
|-------------------|---------------------------|--|--|
| Шпунково-фрезерна | 2 | відсутня | Виконання принципу суміщення баз |
| | 45 | відсутня | Обробка з одного цстанова |
| | Паралельність | відсутня | Виконання принципу суміщення баз |
| | 5 | наявна | Установка в призму |

Розмірний розрахунок пристосування на точність



Розрахункова похибка пристосування

$$E_{пр} \leq T - K_m \times \sqrt{(K_m1 \times E_{\delta})^2 + E_3^2 + E_y^2 + E_u^2 + E^2_{ли} + (K_m2 \times w)^2} = 0,2 \text{ мм}$$

T - допуск виконуємого розміру

E_{δ} - похибка вимірювання

E_3 - похибка закріплення

E_y - похибка установки

E_u - похибка зношення

$E_{ли}$ - похибка від перекосу (або зміщення) інструменту

w - економічна точність при обробці

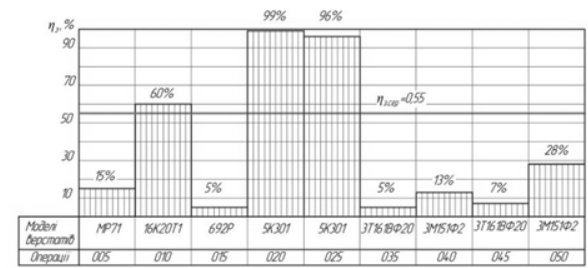
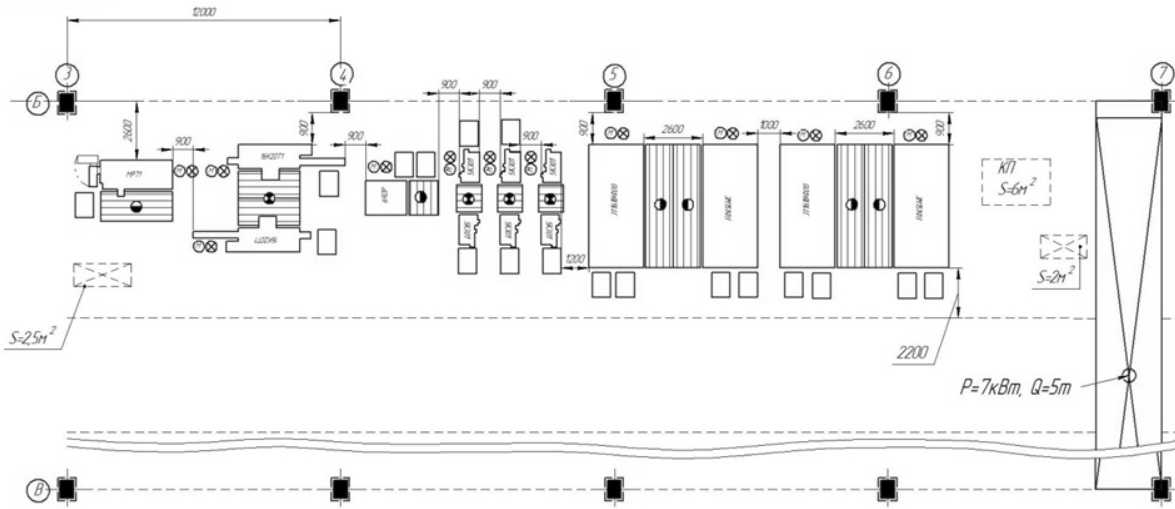
$$E_{пр} < T_5 (0,2 \text{ мм} < 0,3 \text{ мм})$$

Розрахунок точності складових розмірів

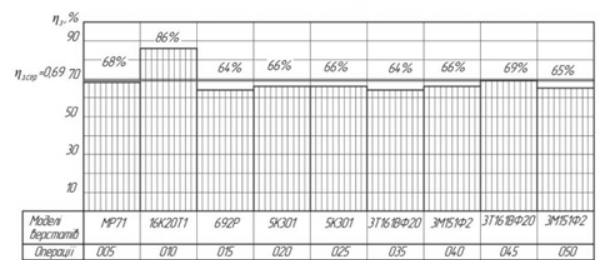
$$T(A_5) = T(A_1) + T(A_2) + T(A_3) + T(A_4) + T(A_5)$$

$$0,2 = 0,04 + 0,04 + 0,04 + 0,04 + 0,04$$

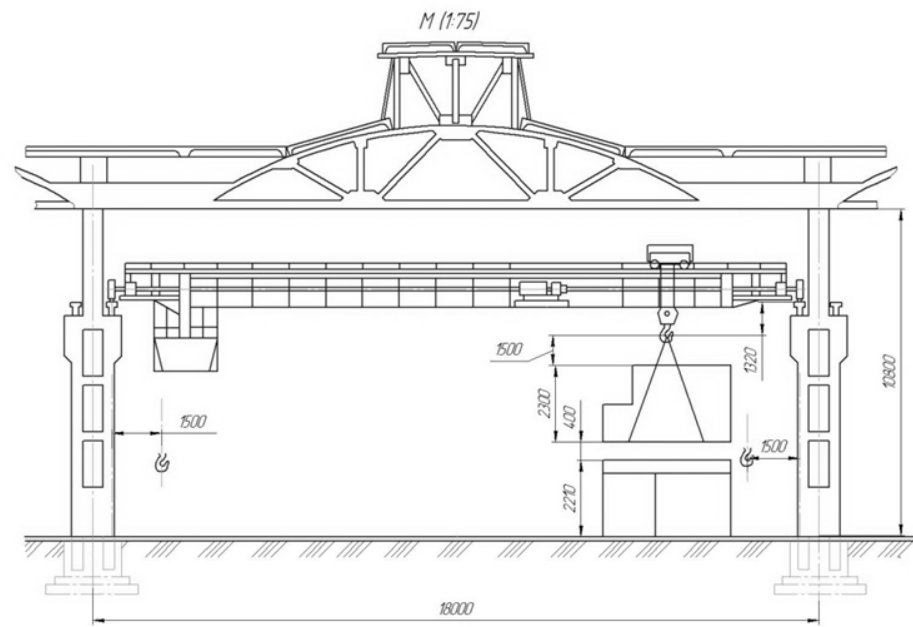
08-26.МКР.009.00.000 ЗВ



Графік завантаження обладнання



Графік використання обладнання по основному часу




1. На дільниці проводиться обов'язкове прибирання стружки в кінці зміни.
2. Не заграмаджувати проходи, проїзди, підходи до перших засобів пожегогасіння.
3. Наявність на підлозі мастила і емульсії не допускається.
4. Площа дільниці загальна - 300,8 м.кв, виробнича - 280 м.кв.
5. Кількість працюючих: основних робітників - 14 чол, загальна - 22 чол.


| | | | | | | | |
|--------|-----------|------|--------|-------------------------|------|--------|--------|
| | | | | 08-26.МКР.009.00.000 ЗВ | | | |
| Зробив | Перевірив | Лист | Листів | Зробив | Лист | Листів | Зробив |
| Лист | Лист | Лист | Лист | Лист | Лист | Лист | Лист |
| | | | | План дільниці | | | |
| | | | | ВНТУ зр.П1М-14м | | | |
| | | | | Формат А1 | | | |


Техніко-економічне порівняння


| Показник | Базовий ТП | Модернізований ТП |
|---|-----------------|-------------------|
| 1. Річний випуск виробів, шт. | 30000 | |
| 2. Приведена програма, шт. | - | 105022 |
| 3. Спосіб виготовлення заготовки | Кування на КГШП | Кування на ГКМ |
| 4. Маса заготовки, кг. | 3,184 | 3,061 |
| 5. Собівартість виготовлення заготовки, грн | 55,94 | 52,30 |
| 6. Коефіцієнт точності маси заготовки | 0,74 | 0,78 |
| 8. Кількість операцій | 6 | 9 |
| 9. Кількість верстатів, шт | 12 | 14 |
| 10. Кількість ставок працюючих | 19,3 | 21,14 |
| 11. Виробнича площа, м ² . | 250 | 280 |
| 12. Загальна площа, м ² . | 270 | 300,9 |
| 13. Капітальні витрати, грн. | - | 1675199,92 |
| 14. Собівартість виготовлення деталі, грн. | 85,58 | 77,37 |
| 15. Прибуток, грн. | - | 684150 |
| 16. Термін окупності, років. | - | 1,64 |


ВИСНОВКИ


 - У магістерській кваліфікаційній роботі виконані розділи, в яких розглядаються питання розробки технології механічної обробки деталі типу «Вал-шестерня КШП-3М03-03-36» з урахуванням передових технологій і нових методів обробки подібних заготовок.


 - Розробка здійснена на базі аналізу базового технологічного процесу обробки деталі «Вал-шестерня», яка є аналогічною до заданої деталі. Орієнтуючись на цей процес було розроблено два модернізованих технологічних процеси механічної обробки для деталі «Вал-шестерня КШП-3М03-04-36», один з яких вибраний для подальшого проектування, як оптимальний.


 - В технологічній частині МКР, окрім вказаного вище, виконаний аналіз технологічності конструкції деталі, визначений тип виробництва та форма організації роботи, виконано варіантний вибір та техніко-економічно обґрунтований метод та спосіб виготовлення заготовки з розробкою 3D моделі, вибрані способи та кількість ступенів механічної обробки всіх поверхонь деталі, вибрані чорнові та чистові технологічні бази, виконане розмірно-точнісне моделювання розробленого технологічного процесу, проведено аналітичний розрахунок припусків та міжопераційних розмірів на поверхню $\varnothing 38\text{к6}$, на інші поверхні припуски вибрані нормативним способом, виконано аналітичний розрахунок режимів різання, на 2 переходи – оптимізація режимів обробки на ЕОМ, проведено технічне нормування операцій.

 - В науковій частині МКР проведено імітаційне моделювання динамічних процесів в гідроприводі з довгим напірним трубопроводом.

 - В розділі «Проектування технологічної оснастки» виконані необхідні обґрунтування та розрахунки пристосування для операції 015, яка виконується на шпонково-фрезерному верстаті моделі 692Р, розроблене складальне креслення цього пристосування.

 - В розділі, пов'язаному з розрахунком та плануванням ділянки механічного цеху, виконано розрахунок приведеної програми, яка становить 105022 шт. Визначено кількість верстатів, коефіцієнти завантаження використання за основним часом, побудовані відповідні графіки. Прийнята кількість основних робітників – 14, визначена загальна кількість працюючих на ділянці

 - Графічна частина ілюстративно доповняє матеріали, які представлені в розрахунково-пояснювальній записці і виконана в обсязі 11 аркушів формату А1.

 - В МКР виконані розділи «Економічна частина» та «Охорона праці та безпека життєдіяльності». Перший підтверджує економічну доцільність проведеної роботи, другий дозволив визначити заходи по охороні праці та безпеці життєдіяльності

**Дякую за увагу,
доповідь закінчено!**